

掩埋トンネルの応答解析について

東京大學生産技術研究所 田村重四郎

首都高速道路公団 岡田郁生

大成建設 KK

○赤田政則

1. まえがき 掩埋トンネルの耐震性を調査するため、地震観測や実験的研究が行われ、これに基づいて作られた解析モデルを用いて検討が進められている。今までに、軟弱地盤内に埋設されたトンネルは地盤と略々同様に振動し、トンネル自体の振動はほとんど発生しないこと、逆に地盤の動特性の変化がトンネルの挙動に大きな影響を与えることなどが明らかにされていく。

ここでは東京港海底トンネルの耐震性に関する実験結果について報告する。

2. 応答計算モデル

トンネル構造及び埋設地盤の概要

東京港海底トンネルは東京港オーブルに建設される長さ約1kmのトンネルで、図-1に示すように巾37.4m、高さ8.8mの長方形断面のR.C構造である。トンネルの両端部は地上48m、地下25mの立坑に接続している。立坑の水平断面の形状は、ほぼ40mの正方形である。建設地床の地盤の粒度断面を図-2に示す。基盤層の深さは大井側AP-38m、海底部AP-40m、13号地側AP-43mである。若干13号地側へ傾斜している。表面層の厚さは大井側陸上部で43m、海底部で28m、13号地側陸上部では49mとなる。又、常時微動観測とP-S検層の結果から推定された地盤の卓越周期は大井側陸上部で1.6秒、駿路海底部で1.0秒、13号地側陸上部で1.8秒である。表面層は大部分がN值の5程度の非常に軟い層で構成されている。

(1) 応答計算モデルの作成 トンネル軸に沿って各地点の地盤の卓越周期及び表面層を構成する各層の弾性係数、ポアソン比を用いて応答計算モデルを作成した。大地震におけるトンネルの安全性を検討するには、至る大きい領域での地盤の動特性を知らねばならないが、本報告では前述の常時微動及びP-S検層の結果をそのまま使用した。図-1に示すような応答計算モデルの作成は次のように行なった。各地盤のせん断・1次振動周期及び振動モードは二次元有限要素法を用いて求め、この振動周期より各質点の質量M及びバネK₁をもつた。又、質点相互を連結するバネK₂は隣接する二断面のせん断振動より算出した。地盤とトンネルを結ぶバネK₁は同様に、地盤のせん断

図-1 掩埋トンネル横断図

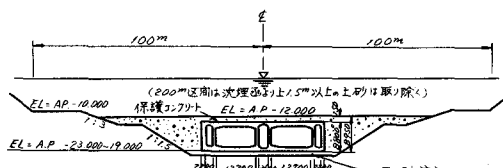


図-2 埋設地盤断面図

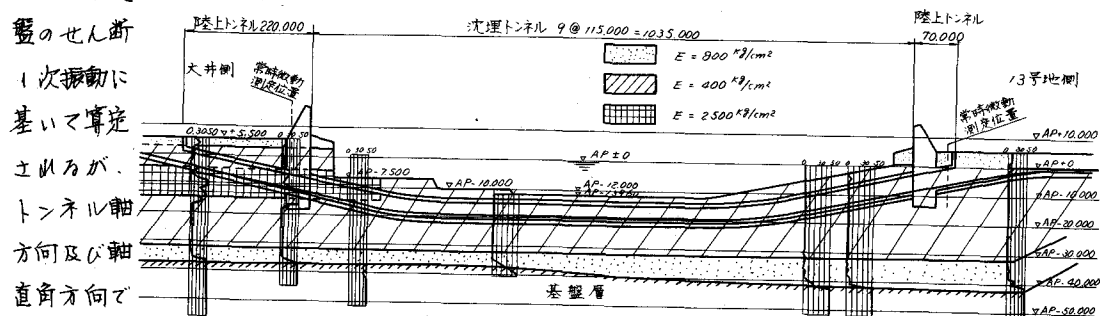
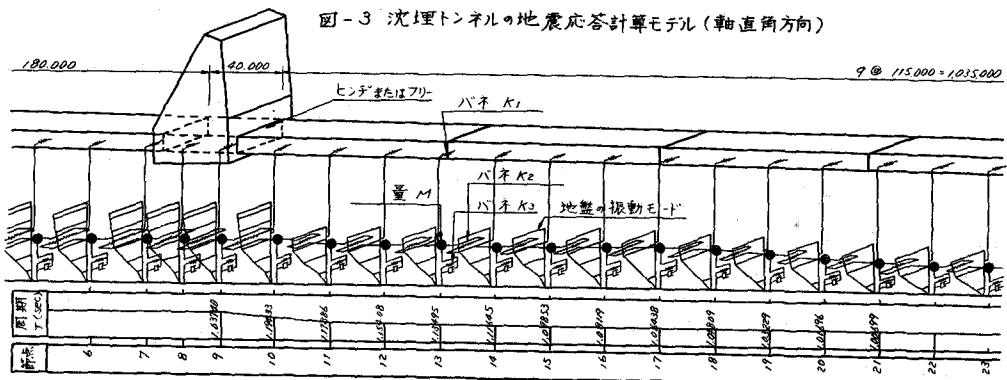


図-3 沈埋トンネルの地震応答計算モデル(軸直角方向)



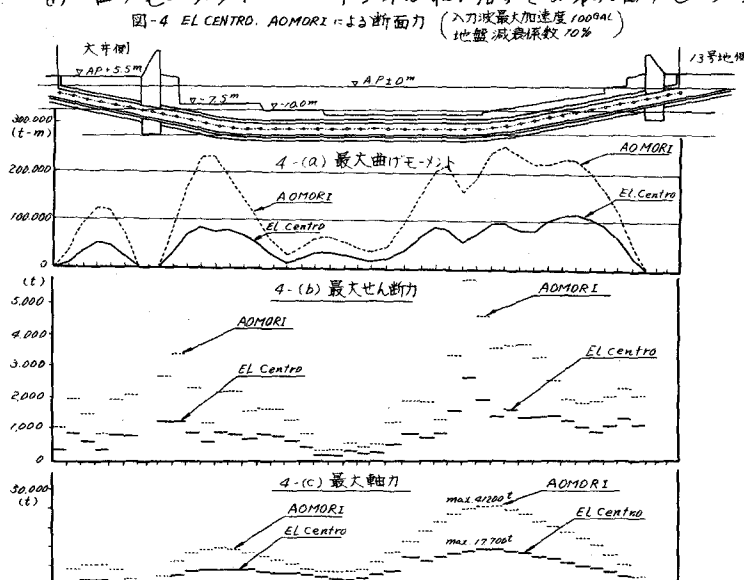
は各々三次元及び二次元の有限要素法を用いて計算した。地盤の質点間隔はほぼ30mで大井側陸上部より13号地盤上部まで全体を16の質点に分割している。立坑と沈埋トンネルは軸直角方向の振動の場合はヒンジ結合、軸方向の振動の場合は、相互に自由に動きうるものとして解析した。

3. 応答計算

図-3に示すような応答計算モデルに地震波を入力して応答解析を行った。これまでだけトンネルの一般的な動特性を検討するにあたっては、入力波としては異常震波をもつ① El centro NS 1940 ② Aomori NS 1968 の二波を採用した。El centro NS 1940の記録は0.25秒～0.6秒程度の比較的短周期成分が多く、Aomori NS 1968の記録は1.0秒前後の比較的長周期の成分を多く含んでいる。入力波の最大加速度は100GALとし、各地盤の減衰定数は一律に10%とした。

断面力について

(1) 曲げモーメント トンネル軸に沿っての最大曲げモーメントの分布を図-4(a)に示す。



El centro NS 1940とAomori NS 1968では曲げモーメントの大きさに差があるが、曲げモーメントのトンネル軸に沿って分布は非常によく似た型をしている。せん断力や軸力の分布についても同じことが言える。このことは地盤の基本振動周期が1.0秒～1.8秒の間にあることともひとつの原因と考えられる。又、トンネル軸に沿って地盤の動特性が地震時に発生する断面力に大きな影響を与えているものと思われる。

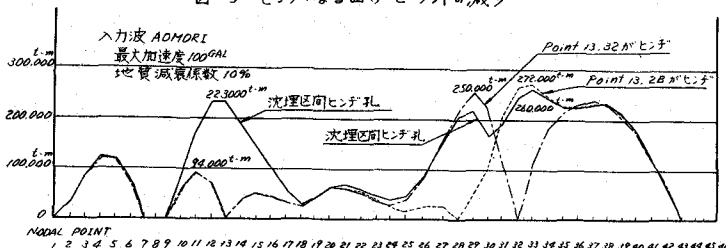
曲げモーメントの大きくなる位置は大井側海底部及び、3号地盤斜面下端附近である。これは等の部分において地盤の動特性が変化してしまったためであると考えられる。これに対し、地盤の動特性が一様な航路海底部では曲げモーメントは小さい。

(2) セン断力 トンネル軸に沿っての最大セン断力の分布を図-4 (b) に示す。大きなセン断力が発生するのは曲げモーメントの場合と同様に 13 号地脚の斜面下端部より 13 号地脚陸上部における部分と大井側海底部である。又、セン断力の最大値は 13 号地脚斜面の下端附近において発生しており、これは曲げモーメントの場合と同様にこの附近において地盤の動特性が変化するためである。

(3) 軸力 最大軸力の分布を図-4 (c) に示す。大きな軸力は曲げモーメント・セン断力と同様に地盤の動特性の変化する大井側海底部、13 号地脚海底部において発生する。又、地盤の動特性の一様となる範囲海底部では小さい。

(4) ヒンジの効果 前述したように入力地盤波に比較的影響されず、一定の建設地盤に対し、

図-5 ヒンジによる曲げモーメントの減少



一定の分布をした断面力が応答値として得られるならば、これ等に対して耐震性を増す構造を考えられる。この目的のために曲げモーメント・セン断力が比較的大きい値を示す大井側海底部及び 13 号地脚海底部にヒンジを設けた場合について試算してみる。

図-3 に示す振動モデルの内、Point 13, 32 にヒンジを設置した場合と Point 13, 28 にヒンジを設置した場合について検討した。図-5 はこの時の最大曲げモーメントを示している。これによると複数箇所にヒンジを設けることの効果として次のことがあげられる。

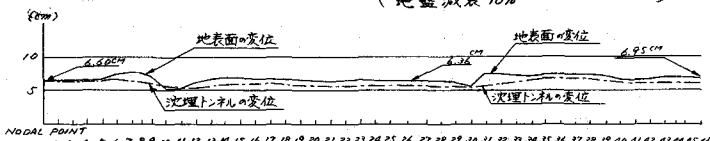
(i) ヒンジはトンネルに発生する曲げモーメント・セン断力を底下一セクション効果をもつが、その影響範囲は限界されており、本トンネルではヒンジより 100 m 程度の範囲である。

(ii) ヒンジの存在によりトンネルの変形に対する拘束条件が緩和されるので変形しやすくなり、るためにヒンジより離れた部分に大きな断面力が発生することがある。

変位について

(1) 最大変位 トンネル軸直角方向に Aomori NS, 1968 を入力した時のトンネル軸に沿った

図-6 沈埋トンネル及び地表面の最大変位 (入力波 AOMORI 最大加速度 100 GAL)



地表面及び複数トンネルの最大変位の分布を図-6 に示す。

これによると地盤の動特性の一様な範囲海底部ではほぼ一差値を示し、動特性の変化する 13 号地脚斜面下端部及び大井側海底部では変位分布は変動している。同様な傾向は El centro NS, 1940 を入力した時にも見られる。

(2) 地盤と複数トンネルの相対変位 図-7 はトンネル軸直角方向に El centro NS, 1940 を入力した時の Point 10, Point 22, Point 31 の複数トンネルと複数トンネル位置における地盤の変位応答曲線を示す。これによると複数トンネルは振巾においても周波数特性においても地盤とはほぼ同様な振動をしていくことが判るが、Point 10 及び Point 31 のような地盤の動特性が変化していく部分

図-7 沈埋トンネル及び地盤の応答曲線（入力波 EL CENTRO
最大加速度 100 GAL）
減衰係数 10%

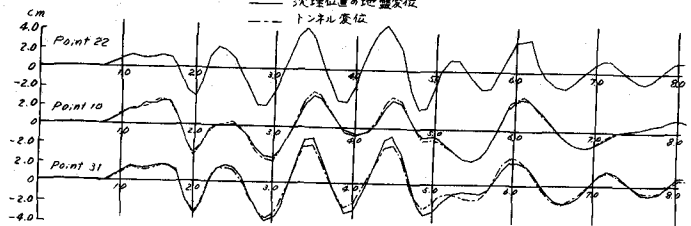


図-8 沈埋トンネル及び地盤の変形曲線

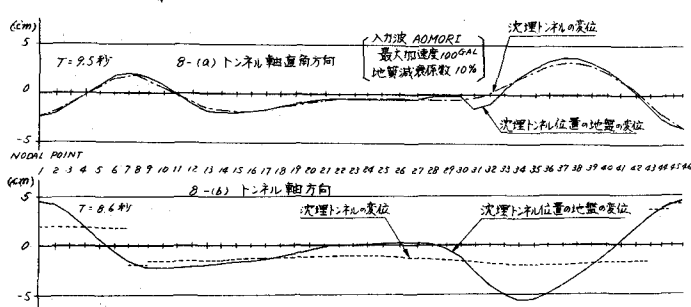


図-6 に示したように各地盤の最大変位はほぼ同じ程度であるが、地盤の動特性の違いにより一定時刻ではトンネル軸に沿って相対変位が生じておりこれが沈埋トンネルに大きな断面力を発生させる原因と思われる。13号地盤側面下端部（Point 30）においては地盤が局部的に波をうつように変位しているが、沈埋トンネル自体はその曲げ剛性のためになかなかに変位している。その他の地盤ではトンネルと地盤とではほぼ同じような変形状態を示している。このことはトンネル軸直角方向振動におけるトンネルの剛性の影響が小さいことを示している。図-8(b)はトンネル軸方向の振動における一定時刻のトンネルと地盤の変位である。地盤の変位曲線とトンネルのそれとのには大きさが差があるため、このことはトンネル軸方向の剛性の影響が大きいことを示している。

4 結論

(1) 図-1に示すような比較的大型断面を有する沈埋トンネルにおいては、トンネル軸方向に働く引張-圧縮力による応力と軸直角方向の変位による曲げ応力とはほぼ同程度である。

(2) ヒンジの影響範囲は限定されており又、近接した他の部分に大きな断面力を発生することもあるので、設置に関する位置や間隔について慎重な配慮が必要である。

5 あとがき

本報告は首都高速道路公団東京港海底トンネル耐震分科会が行った研究成果の一部である。これに協力された委員各位並びに幹事各位に謝意を表して筆を擱かたい。

参考文献

- (1) 田村重四郎、岡本輝三他「沈埋トンネルの地震観測」第11回地震工学研究発表会、1971
- (2) 田村重四郎、他「沈埋トンネルの模型振動実験」第11回地震工学研究発表会、1971
- (3) 斎田政則他「沈埋トンネルの地震応答計算法」第26回土木学会全国大会土工部門

では多少ではあるが振巾に差が生じたり、又若干の位相のずれが認められる。これに対し、動特性がほぼ一様な航路海底部のPoint 22においては、地盤とトンネルの相対変位はほとんど生じていない。

図-8 (a)に軸直角方向において。

Aomori NS 1968を入力にした一定時刻における沈埋トンネルと沈埋トンネル位置における地盤の変位を示す。地盤の変位は全体的にながら曲線を描いている。13号地盤側面下端部のPoint 30～41は正の方向に大きく変位し、大井圓海底部より13号地盤側面下端に至るPoint 11～30は反対に負の方向に変位している。図-6に示したように各地盤の最大変位はほぼ同じ程度であるが、地盤の動特性の違いにより一定時刻ではトンネル軸に沿って相対変位が生じておりこれが沈埋トンネルに大きな断面力を発生させる原因と思われる。13号地盤側面下端部（Point 30）においては地盤が局部的に波をうつように変位しているが、沈埋トンネル自体はその曲げ剛性のためになかなかに変位している。その他の地盤ではトンネルと地盤とではほぼ同じような変形状態を示している。このことはトンネル軸直角方向振動におけるトンネルの剛性の影響が小さいことを示している。図-8(b)はトンネル軸方向の振動における一定時刻のトンネルと地盤の変位である。

地盤の変位曲線とトンネルのそれとのには大きさが差があるため、このことはトンネル軸方向の剛性の影響が大きいことを示している。